

В результате выполненных исследований можно сделать вывод о том, что разработанная сквозная технологическая схема производства крупносортных профилей ответственного назначения из непрерывнолитого металла (рис. 1, схема Б) применительно к условиям стана 620 является наиболее оптимальной, так как гарантирует получение качественной макроструктуры проката даже для профилей с максимальной толщиной элементов 20...28 мм.

Список литературы

1. Лякишев Н.П. Некоторые проблемы современного сталеплавильного процесса // Сталь, 1996. — № 9. — С. 1–6.
2. Лякишев Н.П., Николаев А.В. Энергетические аспекты металлургии стали // Сталь, 2002. — № 3. — С. 67–73.
3. Суплин Л. Проблемы мониторинга потребления черных металлов в Украине // Металл-курьер, спецвыпуск "Металлопотребление", 2002. — май (29). — С. 30–35.
4. Булгаков Е. Состояние и перспективы потребления металла в Украине // Металл-курьер, спецвыпуск "Металлопотребление", 2002. — май (29). — С. 14–16.
5. Лякишев Н.П. Новые металлургические процессы. — М.: Наука, 1991. — С. 5–17.
6. Итоги выполнения программы социально-экономического развития Донецкой области в 1998 – 2000 гг. — Донецк, 2001.
7. Состояние и перспективы развития предприятий черной металлургии в Донецком регионе / С.В. Кольцов, И.М. Мищенко, Г.С. Клягин, О.В. Мирошниченко // Збірник наук. праць ДонНТУ "Металургія". Вип. 40. — Донецьк: ДонНТУ, 2002. — С. 8–15.
8. Оптимизация расхода энергии в процессах деформации / А. Хензель, Т. Шпиттель, М. Шпиттель, М. Гайдук, Й. Конвичный. — М.: Металлургия, 1985. — 184 с.
9. Минаев А.А., Лубенец А.Н., Смирнов Е.Н. Исследование особенностей производства полособульбовых профилей из непрерывнолитых заготовок // Сборник научных трудов Донецкого государственного технического университета. Металлургия. Вып. 18. — Донецк, ДонГТУ. 2000. — С. 6–17.
10. Смирнов Е.Н. Свойства и структура заготовок из непрерывно-литого металла для производства проката ответственного назначения // Металл и литье Украины, 2001. — № 3–4. — С. 17–20.
11. К вопросу производства деталей замка арочной крепи из непрерывнолитого металла / Е.Н. Смирнов, А.Н. Лубенец, И.В. Лейрих и др. // Металлургическая и горнорудная промышленность, 2002. — № 10. — С. 81–85.

© Смирнов Е.Н., Лейрих И.В., Григорьев М.В., Щербачев В.В., 2003

НОВІКОВА О.В., КУРБАТОВ Ю.Л. (ДОННТУ)

ОКИСЛЮВАННЯ СТАЛЕВИХ ЗРАЗКІВ У СЕРЕДОВИЩІ ПРОДУКТІВ ЗГОРЯННЯ ПРИРОДНОГО ГАЗУ З ВИКОРИСТАННЯМ ЕЛЕКТРОФІЗИЧНОГО ВПЛИВУ

Виконані експериментальні дослідження окислювання сталевих зразків в атмосфері продуктів згоряння природного газу при електрофізичному впливі. Показано зниження угару металу на 20%. Отримано константи окалиноутворювання для розрахунку товщини окалини.

Енергосбереження та ресурсосбереження — важливіші науково-практичні задачі у промисловості, зокрема чорної металургії та машинобудуванні. Тому зменшення угару металу з метою зниження його втрат та поліпшення якості кінцевого продукта є однією з актуальних проблем протягом довгого часу. Засоби боротьби з угаром металу при його нагріванні [1] — застосування спеціальних обмазок, відновлювальних атмосфер, захисних середовищ, швидкісного нагрівання і т.д. — не завжди можуть бути використані. Вплив електричного поля на окислювання сталі достатньо не вивчено [2].

Дослідження впливу постійного електричного поля на окалиноутворення металу, що нагрівається, у середовищі повітря та продуктів спалювання палива — мета роботи, яка проводиться для розробки ресурсосберегаючої технології.

У лабораторних умовах проведений експеримент, на підставі якого визначили величину угару сталі 20 при нагріванні циліндричної заготівлі в електричній печі опору в діапазоні температур $950\text{--}1050^{\circ}\text{C}$. Нагрівання утворювалося в атмосфері повітря за умови впливу на метал, що нагрівається, електричного потенціалу до -50В , який підвищили від негативного полюса джерела постійної напруги, і без нього. Дослідним шляхом отримані залежності швидкості окислювання сталі від величини зовнішнього впливу, які підтверджують теоретичні передумови про ефективний електрофізичний вплив на процес окислювання металу, коли із застосуванням негативного постійного електричного потенціалу значно знижується товщина окалини [3].

Оскільки в промислових умовах, зокрема методичних штовхальних печах, окалина утворюється при взаємодії металу з продуктами згоряння різних видів палив, то виникає необхідність у моделюванні нагріву з електрофізичним впливом у печній атмосфері. Способ нагрівання сталевих заготівель у нагрівальній печі з електрофізичним впливом описаний у деклараційному патенті України на винахід [4]. Подача електричного потенціала здійснюється за допомогою підведення електрода в зону завантаження сталевих заготівель, а саме — між штовхальником і першою (попередньою) сталевою заготівлею, тому що в даному випадку електрод не піддається впливу високих температур і немає необхідності в реконструкції печі для забезпечення місця введення електрода.

Для перевірки і перерахування ефекту електрофізичного впливу на окалиноутворення при високотемпературному нагріванні металу в середовищі продуктів згоряння зробили дослідне нагрівання сталевих зразків у камерній ковальській печі.

Дослідні зразки в кількості 6 одиниць шліфували, знежирювали зневодненим ацетоном та нагрівали протягом однієї години в середовищі продуктів згоряння природного газу (коєфіцієнт витрати повітря $\alpha=1.05$, температура 1200°C). Зразки металу марки сталь 45 мали циліндричну форму із середнім розміром: діаметр 15 мм, висота 40 мм. Для забезпечення електроізоляції зразків, що піддаються електрофізичному впливу, від поду печі і збереження рівності всіх інших умов проведення експерименту, кожен зразок розміщали на вогнетривкій підставці із шамоту. Вогнетривкі підставки розташовували на металевому листі для можливості одночасного завантаження в піч. До кожного непарного зразка (№1, 3, 5) прикріплювали ніхромовий дрот, що поза робочою зоною присіднували до негативного полюса універсального джерела постачання (УДП). Після завантаження листа зі зразками в піч напругу на УДП установлювали рівну -30В . Через фіксовані інтервали часу (15, 30, 60 хвилин) дослідні зразки попарно (непарним з парним, де парний (№2, 4, 6) — зразок без електрофізичного впливу) витягали з печі, охолоджували, звільняли від окалини і зважували. Результати зважування зразків у перерахуванні на угар металу приведені на рисунку 1.

З графіку видно, що при електрофізичному впливі угар знижується в середньому на 20% (де Δm_{Fe} — відсоток металу, що перетворився у окалину). По зміні маси металу в одиницю часу визначили значення питомого приросту ваги кисню g_{O_2} , практично константи окалиноутворення K , постійної параболічного закону Таммана K , товщини окислу S , що звели в таблицю 1.

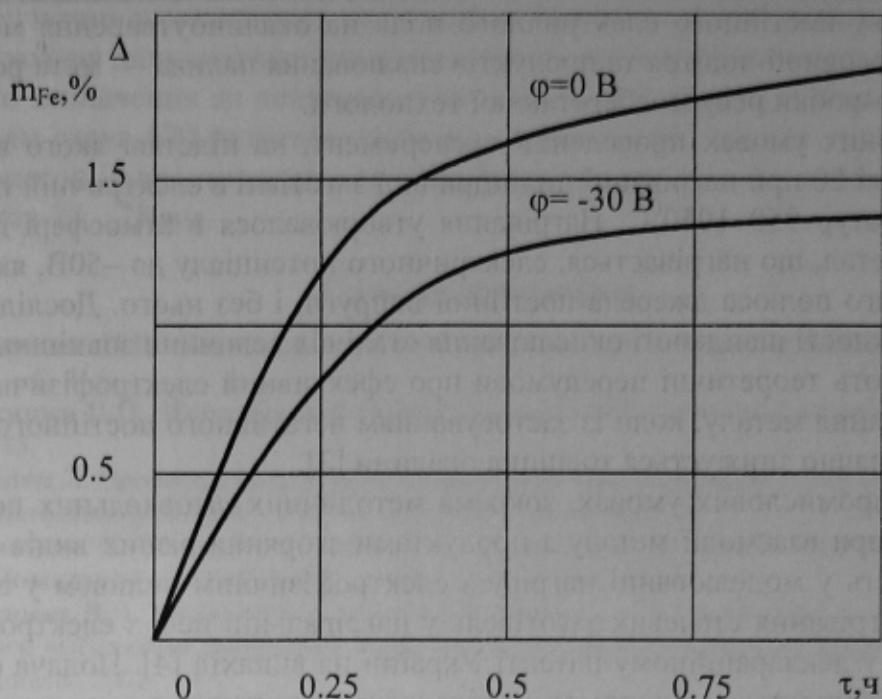


Рис. 1. Графік залежності угару металу від часу

Табл. 1. Коефіцієнти окалиноутворення, товщина окислу при нагріванні сталевих зразків у середовищі продуктів згоряння (де Δm_{O_2} приводиться в перерахуванні на приріст ваги кисню)

φ= -30В	№1, τ = 900с	№3, τ = 1800с	№5, τ = 3600с
Δm_{O_2} , кг	$131.8 \cdot 10^{-6}$	$200.0 \cdot 10^{-6}$	$230.46 \cdot 10^{-6}$
g $\text{kg O}_2/\text{m}^2$	$5.86 \cdot 10^{-2}$	$8.94 \cdot 10^{-2}$	$10.30 \cdot 10^{-2}$
g, $\text{kg}_{\text{окал}}/\text{m}^2$	0.26	0.397	0.457
K, $\text{kg}^2/(\text{m}^4 \cdot \text{с})$	$0.38 \cdot 10^{-5}$	$0.44 \cdot 10^{-5}$	$0.29 \cdot 10^{-5}$
K, $\text{m}^2/\text{с}$	$0.877 \cdot 10^{-13}$	$1.02 \cdot 10^{-13}$	$0.68 \cdot 10^{-13}$
S, м	$0.06 \cdot 10^{-3}$	$0.09 \cdot 10^{-3}$	$0.1 \cdot 10^{-3}$
φ=0В	№2, τ = 900с	№4, τ = 1800с	№6, τ = 3600с
Δm_{O_2} , кг	$186.9 \cdot 10^{-6}$	$247.4 \cdot 10^{-6}$	$291.0 \cdot 10^{-6}$
g $\text{kg O}_2/\text{m}^2$	$8.36 \cdot 10^{-2}$	$11.06 \cdot 10^{-2}$	$13.01 \cdot 10^{-2}$
g, $\text{kg}_{\text{окал}}/\text{m}^2$	0.371	0.493	0.577
K, $\text{kg}^2/(\text{m}^4 \cdot \text{с})$	$0.78 \cdot 10^{-5}$	$0.68 \cdot 10^{-5}$	$0.47 \cdot 10^{-5}$
K, $\text{m}^2/\text{с}$	$1.79 \cdot 10^{-13}$	$1.56 \cdot 10^{-13}$	$1.08 \cdot 10^{-13}$
S, м	$0.08 \cdot 10^{-3}$	$0.11 \cdot 10^{-3}$	$0.13 \cdot 10^{-3}$

За формулою Арреніуса практична константа окалиноутворення при нагріванні сталі 45 в середовищі продуктів сгоряння природного газу з $\alpha=1.05$ буде визначатися наступним чином:

$$K' = A \exp[-Q/(R \cdot T)],$$

де R — універсальна газова постіна, $R=8.314$ кДж/(кмоль·К); Q — енергія активації, кДж/(кмоль), [5]; A — деяка константа, $\text{kg}^2/(\text{m}^4 \cdot \text{с})$.

$$K'(0 \text{ В}) = 0.245 \cdot 10^{-3} \exp[-Q/(R \cdot T)];$$

$$K'(-30 \text{ В}) = 0.14 \cdot 10^{-3} \exp[-Q/(R \cdot T)].$$

Таким чином показано, що при нагріванні сталевих зразків з використанням електрофізичного впливу в атмосфері продуктів згоряння природного газу угар знижується на 20%. Отримані коефіцієнти окалиноутворення дозволяють визначити товщину окалини в залежності від величини впливу і температури нагріву в середовищі продуктів згоряння органічного палива. Використовуючи літературні дані щодо швидкості окалиноутворення різних марок сталей, можна визначити зменшення товщини окалини за рахунок електрофізичного впливу, що передбачається. Впровадження запропонованого способу економічного нагріву металу у промисловість є перспективою подальшої роботи у цьому напрямку.

Список літератури

1. Теплотехника металургического производства / По ред. Кривандина В.А. — М.: МИСИС, 2002. — Т. 1. — 607 с.
2. Окисление металлов / Под ред. Ж.Бенара. — М.: Металлургия, 1968. — Т. 1. — 500 с.
3. Новикова Е.В., Курбатов Ю.Л. Окалинообразование при электрофизическом воздействии на нагреваемый металл // Экотехнологии и ресурсосбережение, 1999. — № 6. — С. 73–74.
4. Пат. 51118A Украина, МКИ C21D1/34. Способ нагревания сталевых заготовок у нагревальной печи / Ю.Л. Курбатов, О.В. Новикова (Украина). — № 2002010151; заявл. 03.01.2002; опубл. 15.11.2002. Бюл. 11.
5. Бокштейн Б.С. Диффузия в металлах. — М.: Металлургия, 1978. — 247 с.

© Новікова О.В., Курбатов Ю.Л., 2003

ШЕВЕЛЕВ А.И. (ДП «ТЕХНОСКРАП» ООО «СКРАП», ДОНЕЦК)

ОБРАБОТКА ДАВЛЕНИЕМ В ПРОЦЕССАХ ПЕРЕРАБОТКИ ВТОРИЧНЫХ АЛЮМИНИЕВЫХ СПЛАВОВ

Работа носит обзорный характер посвящена анализу перспектив использования методов обработки давлением в процессах переработки вторичных алюминиевых сплавов. Показано, что введение методов ОМД в процесс переработки вторичных алюминиевых сплавов позволит резко увеличить номенклатуру и качество получаемых из них изделий.

Введение

В настоящее время динамично развивается производство и потребление продукции из алюминиевых сплавов [1]. Алюминиевые сплавы являются одним из основных современных материалов, поскольку дают возможность эффективно решать проблемы мирового сообщества, связанные с созданием современных конструкций и машин в таких отраслях, как авиакосмический комплекс, транспорт, строительство, электротехника, аграрно-промышленное производство. Кроме этого, проблемы энергоснабжения и экологии во многом успешно решаются благодаря использованию алюминиевых сплавов.

В США, Европе, Японии наиболее динамично развивается рынок потребления алюминия в транспортном машиностроении (особенно автомобилестроении). При этом сохраняются и традиционные области эффективного применения алюминия, такие как производство тары и упаковки, строительство, электротехника.

В настоящее время доля алюминия в автомобилях, производимых развитыми странами составляет около 10%, однако уже в ближайшие несколько лет доля алюминия в перспективных моделях автомобилей увеличится до 40% и более. В первую оче-